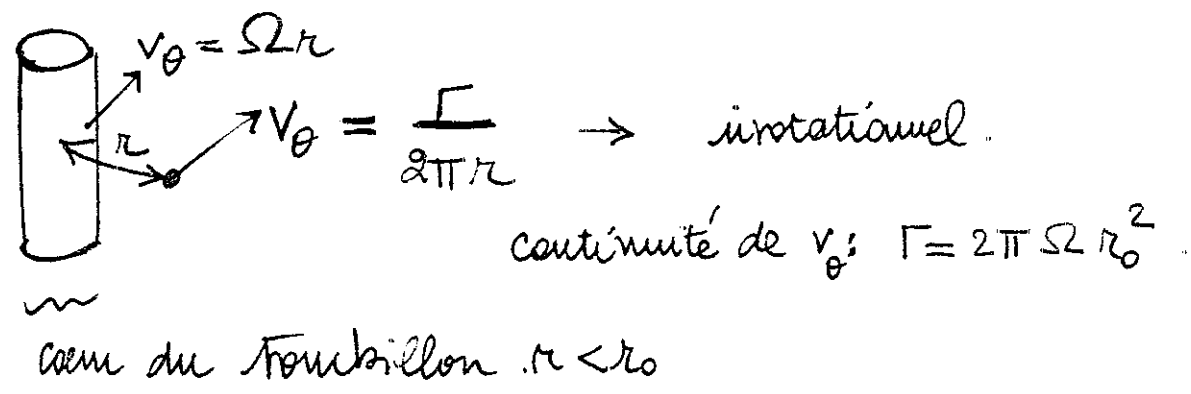


Chapitre (V) Effets tourbillonnaires

1

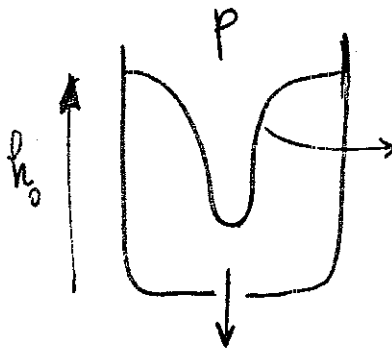
- 1) Vortex de Rankine
- 2) Théorème de Kelvin
- 3) Diffusion de la vorticit  d' un fluide incompressible
- 4) Cr ation de vortex en aval d' un choc courbe
- 5) Instabilit  du fluide stationnaire
- 6) Transition vers le chaos
- 7) Turbulence d velopp e
- 8) Couche limite turbulente
- 9) Mod lisation de la turbulence

1) Vortex de Rankine (Guyon p289)



$$\text{rot}(\Omega r e_\theta) = \frac{1}{r} \frac{\partial}{\partial r} (r \Omega r) \vec{k} = 2 \Omega \vec{k}$$

• Application à la vidange d'un réservoir circulaire



surface libre $p = p_0$

$$p + \rho g z + \frac{1}{2} \rho v_\theta^2 = p_0 + \rho g h_0$$

$p_0 + \rho g h(r)$ sur la surface libre

$$r \gg r_0 \quad h(r) = h_0 - \frac{1}{2g} \left(\frac{\Gamma}{2\pi} \right)^2 \frac{1}{r^2} \quad \text{profil hyperbolique}$$

$$r \leq r_0 \quad p(r, z) = ?$$

fluide au repos dans le repère tournant à la vitesse $\Omega \rightarrow$ force centrifuge $\Omega^2 r$.

$$\frac{\partial p}{\partial r} = \rho \Omega^2 r \quad ; \quad \frac{\partial p}{\partial z} + \rho g = 0$$

$$p = \frac{1}{2} \rho \Omega^2 r^2 - \rho g (z - h_1) \quad h_1 / p \text{ continue en } r = r_0$$

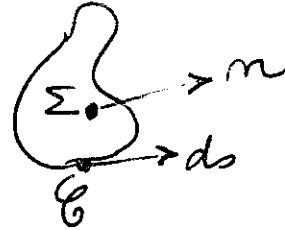
surface libre: $p = p_0 \rightarrow$ parabole.

2) Théorème de Kelvin (W. Thomson, 1869).

- Circulation et tourbillon.

$$\omega = \text{rot } u.$$

$$\int_{\mathcal{C}} u \cdot ds = \iint_{\Sigma} \omega \cdot n \, d\sigma \quad (\text{Stokes}).$$



- (Rn) fluide parfait incompressible en en é'volution barotrope. La circulation le long d'une courbe qui en suit dans son mouvement est constante (forces dérivant d'un potentiel)

$$\frac{\partial u}{\partial t} + \omega \times u + \nabla \left(\frac{1}{2} |u|^2 \right) + \frac{1}{\rho} \nabla p = -\nabla \Phi.$$

$$\text{rot} \left(\frac{1}{\rho} \nabla p \right) = 0 \quad \text{par hypothèse de barotrope}$$

$$\text{rot} (\omega \times u)_i = \partial_j (\omega_i u_j) - \omega_j \partial_j u_i$$

$$\frac{\partial \omega}{\partial t} + \text{rot} (\omega \times u) = 0 \rightarrow \bar{\omega} \text{ garder en mémoire}$$

- formule d'analyse vectorielle.

$$\frac{d}{dt} \int_{\mathcal{C}(t)} \vec{\varphi} \cdot d\vec{s} = \int_{\mathcal{C}(t)} \left(\frac{d\vec{\varphi}}{dt} + \text{rot } u \cdot \vec{\varphi} \right) \cdot d\vec{s}$$

$$\text{car } \frac{d}{dt} d\vec{s} = \nabla v \cdot d\vec{s}.$$

- Preuve du th de Kelvin.

$$\frac{d}{dt} \oint \vec{u} \cdot d\vec{s} = \oint \frac{du}{dt} \cdot ds$$

car $(\nabla u)_{ij} = \partial_j u_i$

$$\left({}^t \nabla u \cdot u \right)_i = {}^t \nabla u_{ij} u_j = (\partial_i u_j) u_j = \frac{1}{2} \nabla (u^2)_i$$

$$\text{et } \oint_{\partial(\Omega)} \nabla (u^2) ds = \iint_{\Sigma} \text{rot}(\nabla u^2) = 0.$$

Par ailleurs $\frac{du}{dt} = -\nabla \Phi - \frac{1}{\rho} \nabla p$ qui est un gradient par hypothèse. D'où le résultat. ■

- (th) de Lagrange.

Si \vec{a} un instant particulier de l'écoulement est irrotationnel dans un domaine V_0 , il reste irrotationnel lorsqu'on suit $V(t)$ dans son mouvement.

- Transport de $\frac{\omega}{\rho}$ par le mouvement.

fluide parfait incompressible en en évolution
barotrope

$$\frac{d}{dt} \left(\frac{\omega}{\rho} \right) = (\nabla u) \cdot \frac{\omega}{\rho}$$

$$\frac{\partial \omega_i}{\partial t} + (\text{div} u) \omega_i + (u \cdot \nabla) \omega_i - (\omega \cdot \nabla) u_i = 0$$

$$-\frac{1}{\rho} \frac{d\rho}{dt} \omega_i - \frac{\omega_i}{\rho} \frac{d\rho}{dt} = \omega_j (\partial_j u_i)$$

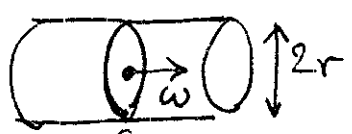
puis on divise par ρ . ■

$$(\nabla u)_{ij}$$

• Interprétation physique du Γ de Kelvin

C'est la conservation du moment cinétique!

(ex) du vortex de Rankine



$$\Gamma = \oint_C \mathbf{v} \cdot d\mathbf{l} = \pi r^2 \omega \quad \Omega = \frac{\omega}{2}$$

$J =$ moment d'inertie du cylindre de longueur δl

$$J = \delta m \frac{r^2}{2} \quad \text{où } \delta m = \rho \pi r^2 \delta l$$

$$\underbrace{\pi r^2 \omega}_{\text{cte}} = \frac{4\pi}{\delta m} \underbrace{\delta m \frac{r^2}{2}}_J \underbrace{\frac{\Omega}{\frac{\omega}{2}}}_{\text{moment cinétique}} = K$$

la masse de fluide dans un tube de vorticit  est constante $\rightarrow K = \text{cte}$.

Conservation de $\Gamma \iff$ conservation du moment cin tique $J\Omega$.

3) Diffusion de la vorticit  d'un fluide incompressible

$$\begin{cases} \operatorname{div} u = 0 \\ \frac{\partial u}{\partial t} + \omega \times u + \nabla \left(\frac{u^2}{2} + \frac{p}{\rho} \right) - \nu \Delta u = -\nabla \Phi \end{cases}$$

Equation de Helmholtz pour le tourbillon.

$$\frac{\partial \omega}{\partial t} + \operatorname{rot}(\omega \times u) - \nu \Delta \omega = 0$$

$$\text{ou } \frac{d\omega}{dt} = \underbrace{(\nabla u) \cdot \omega}_{\text{terme d'etirement - rotation}} + \nu \Delta \omega$$

terme d'etirement - rotation
 $\rightarrow \neq 0$ en 2D!

diffusion du tourbillon

4) Cr ation de vortex en aval d'un choc courbe

$$\begin{cases} S = \text{cte} \\ H = \text{cte} \end{cases}$$

{ Hadamard (1903)
 { Couvo (1937)

→ choc ∇s non trivial en aval.

$$\omega_{\text{aval}} = \omega_{\text{amont}} + \operatorname{rot}_{\Gamma} [\vec{u} \cdot \vec{n}]$$

!!
 0 en g n ral.

pas de tourbillon singulier sur le choc mais une discontinuit  du tourbillon

↑
 $\operatorname{rot}[\vec{u} \cdot \vec{n}] = 0$

lien $\begin{cases} \omega \\ \nabla s \end{cases}$.

$$\frac{\partial u}{\partial t} + \omega \times u + \nabla \left(h + \frac{u^2}{2} \right) - T \nabla s = 0.$$

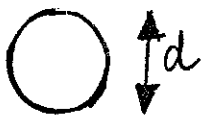
car $dh = T ds + \frac{1}{\rho} dp$
 ce n'est plus un écoulement barotrope !

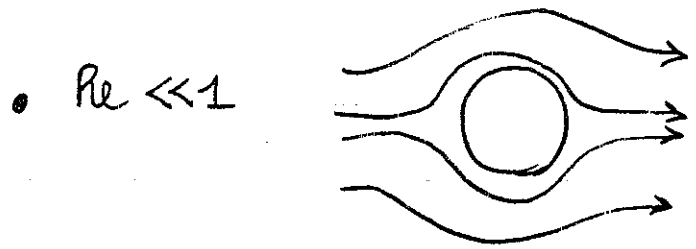
alors (si $\nabla H = \text{cte}$ et $\frac{\partial}{\partial t} \rightarrow 0$)

$$\omega \times u = T \nabla s \quad (\text{vortex}).$$

5) Instabilité du fluide stationnaire

- exemple: écoulement autour d'un cylindre.

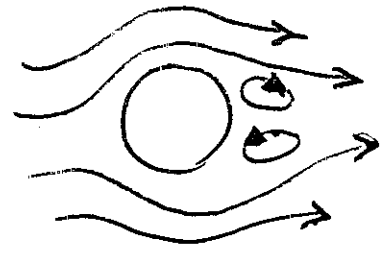
ρ, \vec{u}_∞  $Re = \frac{\rho u_\infty d}{\mu} = \frac{u_\infty d}{\nu}$



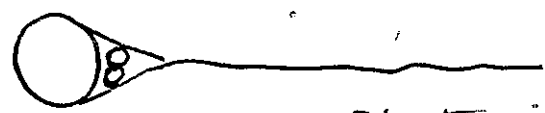
la solution est potentielle incompressible essentiellement
 En effet, $u = \nabla \varphi, \frac{\partial \varphi}{\partial n} = 0$ sur $\partial \Omega$.

$\omega \times u + \nabla \left(\frac{p}{\rho} + \frac{u^2}{2} \right) - \gamma \Delta u = 0$
 \uparrow
 0 cte si Bernoulli $\Delta u_x = \Delta \left(\frac{\partial \varphi}{\partial x} \right) = \frac{\partial}{\partial x} (\Delta \varphi)$
 $= 0$

- $Re \approx 30$ décollement de la couche limite laminaire et sillage stationnaire



- $Re \geq 40$ le sillage devient instationnaire



- $Re = 47$ oscillations clairement visibles en aval du sillage.



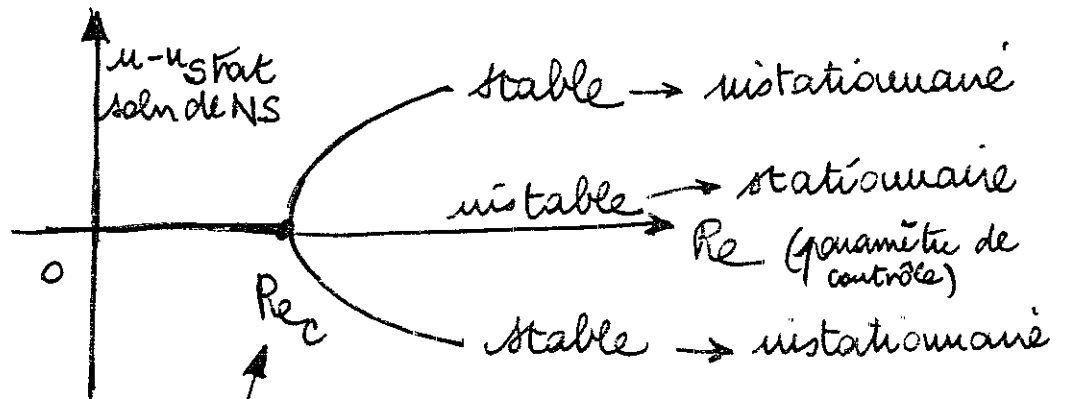
- $Re = 70$ formation de l'allée de Von Karman.



- $Re = 100$ Allée tourbillonnaire de Bénard-V.K. 1910.



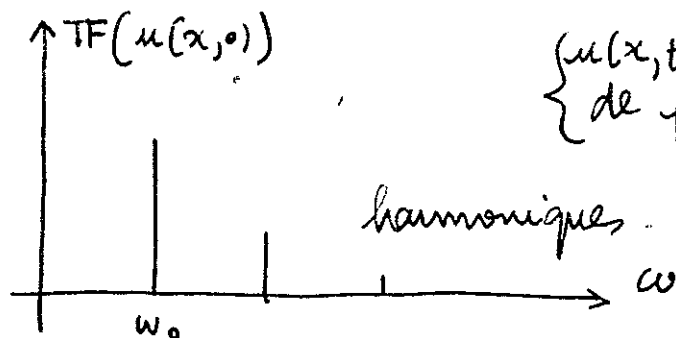
• Bifurcation



seuil d'émission des tourbillons

Modèle de Landau (voir Landau p 129 ; Guyon p 89 et suivants)

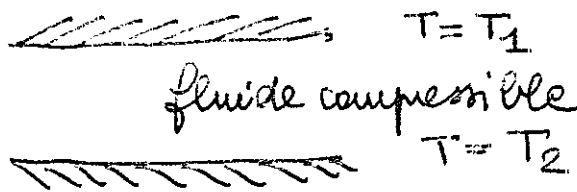
• spectre de vitesse



$\left\{ \begin{array}{l} u(x,t) \text{ périodique} \\ \text{de fréquence } \omega \end{array} \right.$

harmoniques

• Instabilité de Rayleigh - Bénard



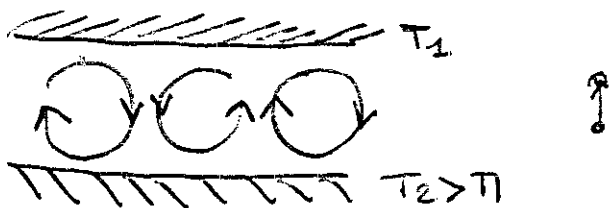
$$\frac{\partial T}{\partial t} + v \cdot \nabla T - \nu \Delta T = 0$$

* $T_2 - T_1 = \Delta T$

$\Delta T < 0$ la stratification de densité (fluide dense en dessous) est stable \rightarrow pas de mouvement

* $0 < \Delta T < \Delta T_c$ échanges de chaleur purement diffusifs

* $\Delta T = \Delta T_c$ apparition de rouleaux convectifs de convection.



fluctuation de température \rightarrow mouvement convectif vertical. si pas assez d'échange de chaleur avec l'extérieur, la particule après un certain temps subit un gradient de température encore plus important.

- Taylor-Couette (deux cylindres)
- Bénard-Marangoni (avec surface libre) \rightarrow cellules hexa (casseroles qu'on chauffe)
- Kelvin-Helmholtz (∇ de vitesses tangentielles)
- Poiseuille (pnm!)

6) Transition vers le chaos

Aller du très simple à l'infiniment (?) complexe, ie du prédictible au non prédictible.

- Ecoulement stationnaire stable pas de fréquence propre du système.
- Ecoulement à une fréquence propre (avec ses harmoniques).
Une instabilité non linéaire apparaît (cf paragraphe précédent). Elle donne lieu à un cycle limite (comportement périodique) de fréquence "fondamentale" f_1 .

spectre = f_1 et ses harmoniques.
→ l'écoulement reste prédictible
cf Rayleigh-Bénard à $\Delta T \gg \Delta T_c$
cylindrique avec allée de Von Karman.

- Trois scénarios possibles vers la turbulence, ie système dynamique non prédictible dans ses moindres détails.

① Apparitions d'au moins trois fréquences
irrationnelles entre elles

(Ruelle-Takens 1971)

ex) de Rayleigh-Bénard

(Libchaber 1978)

$$\Delta T > \Delta T_c^2 > \Delta T_c' \equiv \Delta T_c$$

→ nouvelle fréquence f_2 $\frac{f_1}{f_2} \notin \mathbb{Q}$
oscillations des rouleaux
bouffées de chaleur

→ 2 fréquences avec leurs harmoniques $f = n f_1 + m f_2$
 $n, m \in \mathbb{Z}$

le spectre reste discret → mot pseudo périodique

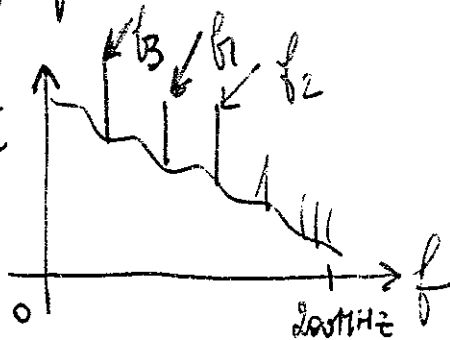
Une 3^e fréquence f_3

* Landau (1940) on en met de plus en plus
d'irrationnelles entre elles → chaos

→ scénario abandonné aujourd'hui!

* 3^e fréquence va créer un spectre continu

TF { fluctua-
tion de
tempéra-
ture }



les composantes discrètes
devenant de moins en
moins visibles

modèle discret : 3 équations différentielles cou-
plées non linéairement entre elles (deux
oscillateurs couplés non linéairement)

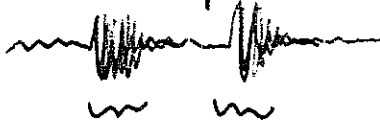
ex) Lorenz 1963 → atmosphère

Comportement stochastique des systèmes déterministes

(R) Composante continue du spectre (Berger p 60)
 apparaît pour des fonctions a-périodiques, i.e.
 différentes d'un signal comportant deux fréquences
 fondamentales avec leurs harmoniques.

(ex) bruit blanc
 lumière blanche, bruit d'une cascade
 → spectre plat •

(2) apparition du chaos par "intermittence".

les oscillations a-périodiques (2 fréquences) se dégradent (bouffée chaotique de grande amplitude)
 quasi-

 → intermittence.

La durée des bouffées augmente avec le paramètre "d'ordre" (Re, Ra).

(3) Doublements successifs de fréquence (Feigenbaum, Coullet 1978)

$$Re^0 \rightarrow f_1 \quad Re^1 \rightarrow f_1/2 \quad Re^2 \rightarrow f_1/2^2, \text{ et } \dots$$

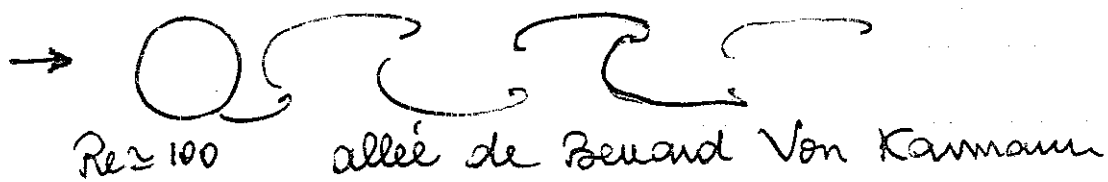
Apparition de la fréquence moitié
 lors du passage d'une valeur critique pour
 le paramètre d'ordre
 (phénomène d'oscillation paramétrique → cf balou-
 coie autrefois...)

$$R_1, R_2, \dots, R_n, R_{n+1} \rightarrow R_n \text{ fini!}$$

$$\text{et } \delta_n = \frac{R_{n+1} - R_n}{R_{n+2} - R_{n+1}} \rightarrow \delta^* = 4,67 \text{ nb de Feigenbaum}$$

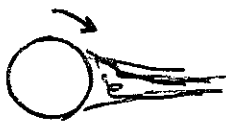
7) Turbulence développée

- exemple du cylindre dans un écoulement uniforme.



$100 \leq Re \leq 200$ transition turbulence.

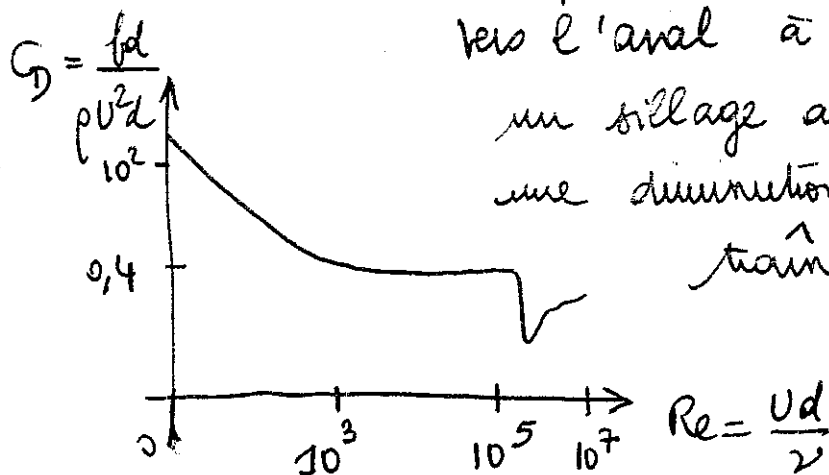
$Re > 200$ écoulement turbulent.



sillage turbulent

photo: quyon p 414

Le point de décollement se déplace vers l'aval à $Re \geq 10^5$, entraînant un sillage aminci réduit, d'où une diminution brutale de la traînée.



• Echelles. (Landau p 150) (Kolmogorov 1941)

* loi des pous → turbulence isotrope

$l \approx$ taille du domaine d'étude

$\lambda_0 \approx$ échelle où la viscosité du fluide agit (dissipation)

$\varepsilon =$ énergie (turbulente) dissipée par unité de temps et de masse.

* $v_\lambda =$ variation de vitesse du mot turbulent en fonction de λ , ρ (densité), ε .

→ une seule combinaison a la bonne dimension
c'est $(\varepsilon \lambda)^{1/3}$ ∇ $v_\lambda \sim (\varepsilon \lambda)^{1/3}$

$$\varepsilon: \frac{\text{énergie}}{\text{mass. temps}} \approx \frac{\text{m}^2}{\text{s}^3}$$

$v_\lambda =$ vitesse des mouvements turbulents dont l'échelle est de l'ordre de λ .

* $\lambda \approx \tau u$
↑ τ échelle de tps petite devant
↑ u vitesse moyenne

le tps caractéristique d'ensemble $\tau \sim \frac{l}{v}$

$$u_\tau \sim (\varepsilon \tau)^{1/3}$$

↑ variation de vitesse (moyenne ?) dans un laps de temps τ .

② on peut aussi former $v'_\tau = (\varepsilon \tau)^{1/2}$ à partir de $\rho, \varepsilon, \tau \rightarrow$ ordre des fluctuations de vitesse ...

* or $\epsilon \sim \frac{(\Delta u)^3}{l}$ (seule grandeur ayant la bonne

dimension qu'on peut former avec $\rho, l, \Delta u$)

$$\text{et } v_\tau \sim \Delta u \left(\frac{\tau}{T}\right)^{1/3} \sim \Delta u \left(\frac{\lambda}{l}\right)^{1/3}$$

* nb de Reynolds $R_\lambda = \frac{\lambda v_\lambda}{\nu}$

$$R_\lambda \sim R_\ell \left(\frac{\lambda}{l}\right)^{4/3}$$

do? $Re_{\lambda_0} \sim 1!$

à cette échelle de vitesse et de longueur, la viscosité est active.

$$\text{Donc } \lambda_0 \sim \frac{l}{R_\ell^{3/4}}$$

$$\text{Donc } v_{\lambda_0} \sim \frac{\Delta u}{R_\ell^{1/4}} \quad \omega_0 \sim \frac{u}{\lambda_0} = \frac{u}{l} R_\ell^{3/4}$$

* nb de ddl d'un mouvement turbulent.

$n =$ nb de ddl / unité de volume

dépend de ρ, ϵ, ν seulement

seule grandeur de dimension $1/m^3$ $\left(\frac{\epsilon}{\nu^3}\right)^{3/4}$

$$n \sim \frac{1}{\lambda_0^3} \sim \frac{1}{l^3} R_\ell^{9/4}$$

$$N = n l^3 \sim R_\ell^{9/4}$$

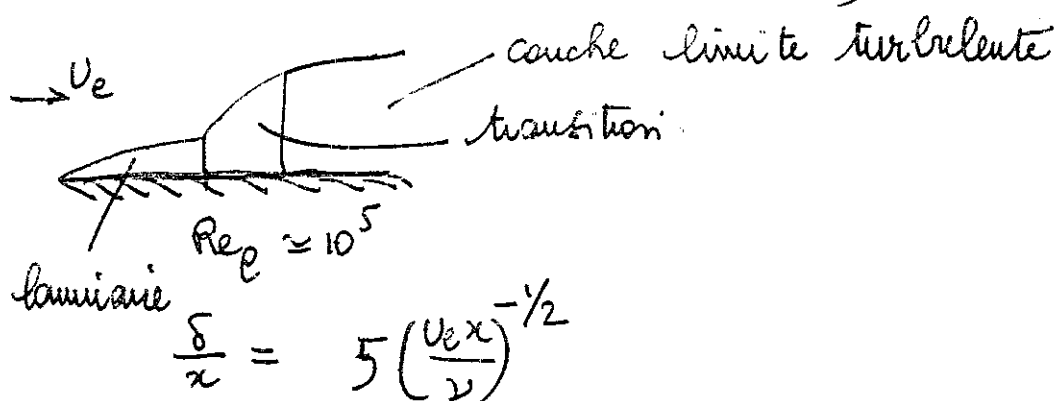
* Cascade de Kolmogorov

l'énergie cinétique est transférée des grosses structures vers les plus petites, puis est dissipée par viscosité à l'échelle où la viscosité devient active (nb de Reynolds associé à cette échelle de l'ordre de 1)

8) Couche limite turbulente



Poiseuille (laminaire) (turbulent)



- Echelles (cf Comte - Bellat p 100)

* vitesse $\tau_0 =$ frottement à la paroi

$$\tau_0 = \rho U_f^2 \quad U_f = \text{vitesse de frottement}$$

* longueur

① D diamètre de la conduite

ou δ épaisseur de la couche limite

② Echelle ou la viscosité (moléculaire) ν joue :

$$\nu / U_f$$

- Zone de paroi (interne) et zone centrale (externe)

$$\frac{\bar{u}}{u_f} = f\left(\frac{y}{\delta}, \frac{y u_f}{\nu}\right)$$

y = distance à la paroi

\bar{u} = profil de vitesse moyenne dans la paroi $\frac{y}{\delta} \ll 1$
 — zone centrale $\frac{y}{\delta} u_f \gg 1$

↳ deux cas limites:

* paroi: $\frac{\bar{u}}{u_f} = f\left(\frac{y u_f}{\nu}\right)$

* zone centrale: $\frac{u_e - \bar{u}}{u_f} = F\left(\frac{y}{\delta}\right)$

- Loi en logarithme.

Existence simultanée des deux développements proposés ci-dessus,

si \bar{u} et $\frac{d\bar{u}}{dy}$ coïncident!

$$\frac{u_e}{u_f} - f\left(y \frac{u_f}{\nu}\right) = F\left(\frac{y}{\delta}\right)$$

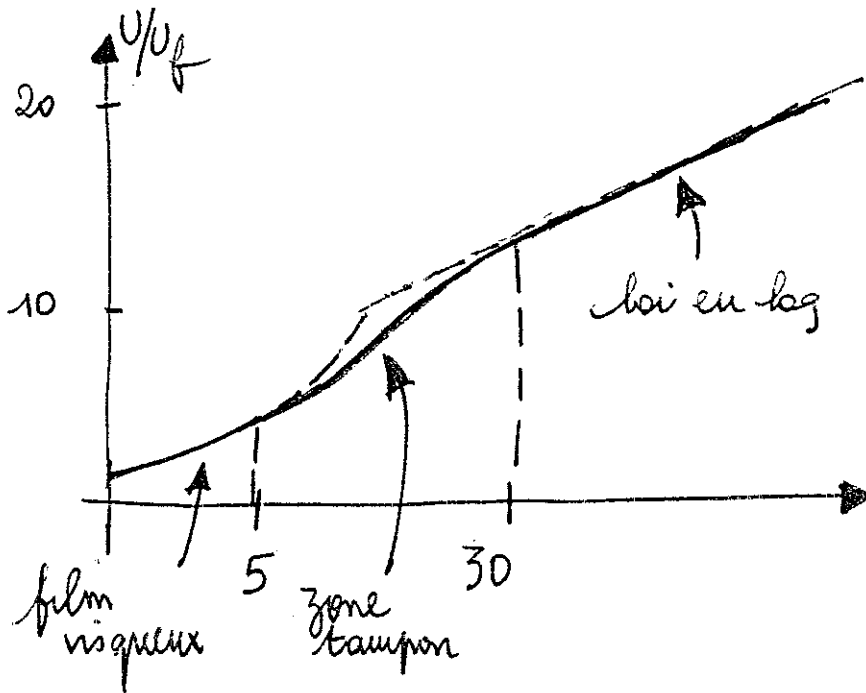
$$-\frac{u_f}{\nu} \frac{df}{d(y u_f / \nu)} = \frac{1}{\delta} \frac{dF}{d(y/\delta)}$$

deux fonctions de deux variables indépendantes sont égales

d'où $-y \frac{u_f}{\nu} \frac{df}{d(y u_f / \nu)} = \frac{y}{\delta} \frac{dF}{d(y/\delta)} = \text{cte (de Karman)}$

$f\left(y \frac{u_f}{\nu}\right) = \frac{1}{\kappa} \log\left(y \frac{u_f}{\nu}\right) + \text{cte}$ $\kappa = 0,4$ cste de Karman

OK si $30 \frac{u_f}{\nu} \leq y \leq 0,2 \delta$



{ Reichardt 1951
 Laufer 1954

$y U_f / \nu$ { échelle log }

• Film visqueux $\frac{\bar{U}}{U_f} = \frac{y U_f}{\nu}$

car $\tau_0 \approx \mu \frac{\partial \bar{u}}{\partial y} = \rho U_f^2$ OK

• Viscosité turbulente \rightarrow se calcule dans la zone en log

$$-\overline{uv} = \nu_T \frac{\partial \bar{u}}{\partial y}$$

ν_T viscosité turbulente.

$$\nu_T = \frac{U_f D}{2,5} \frac{y}{D} \left(1 - \frac{y}{D}\right) \quad (\text{pm})$$

9) Modélisation de la turbulence

- opérateur de moyenne

$$\begin{cases} u = \bar{u} + u' \\ p = \bar{p} + p' \end{cases}$$

↑ moyenne
↖ fluctuations

moyenne en temps $\bar{\phi} = \lim_{T \rightarrow \infty} \frac{1}{T} \int_{-T/2}^{T/2} \phi(x, t) dt$

— d'expériences $E(\phi) = \lim_{N \rightarrow \infty} \frac{1}{N} \sum_{k=1}^N \phi_k(x, t)$

Les deux coïncident : hypothèse ergodique

- Equations de Reynolds (Candel p 395 page 22)

$$\begin{cases} \operatorname{div} \bar{u} = 0 \\ \frac{\partial}{\partial t} \bar{p} + \operatorname{div}(\bar{\rho} \bar{u} \otimes \bar{u}) + \nabla \bar{p} = \operatorname{div} \bar{\tau} + \operatorname{div} \tau_t + \rho g \end{cases}$$

$\bar{\tau}$ = tensions visqueuses pour l'écoulement

$$\text{moyen} = \mu (\partial_i \bar{u}_j + \partial_j \bar{u}_i) + \left(\kappa - \frac{2}{3} \right) \operatorname{div} \bar{u} \delta_{ij}$$

τ_t = tenseur des contraintes de Reynolds

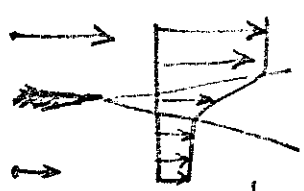
$$(\tau_t)_{ij} = -\rho \overline{u'_i u'_j}$$

même des corrélations entre composantes

• Viscosité turbulente

Boussinesq

Cas d'une couche de mélange



$$-\rho \overline{u'v'} = \mu_t \frac{\partial \overline{u}}{\partial y}$$

↑
viscosité turbulente

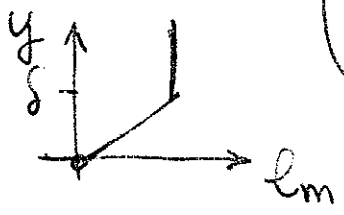
(hyp) $-\rho \overline{u'_i u'_j} = \mu_t (\partial_j \overline{u}_i + \partial_i \overline{u}_j) - \frac{2}{3} \rho k \delta_{ij}$

$k = \frac{1}{2} \overline{u'_i u'_i}$ énergie cinétique turbulente

• Longueur de mélange (Prandtl, 1925).

μ_t relié au gradient de vitesse moyenne grâce à la longueur de mélange l_m

$$\mu_t = \rho l_m^2 \left| \frac{\partial \overline{u}}{\partial y} \right|$$



l_m déterminé empiriquement!
 $l_m = K y \quad K = 0,41$ (Karman)
 (couche limite turbulente)

Modèles récents

Cebeci - Smith (1969)

Baldwin - Lomax

- Modèle à une équation de transport
(Prandtl-Kolmogorov)

μ_t = fu de k, ρ, l la caractéristique
alors via l'analyse dimensionnelle, on n'a pas
le choix, et $\mu_t = C_\mu \rho \sqrt{k} l$.

↳ Nécessité de connaître le champ de l'énergie
cinétique turbulente k .

$$\rho \left(\frac{\partial k}{\partial t} + \bar{u} \cdot \nabla k \right) = \underbrace{-\partial_j (\overline{p'v'_j})}_{(1)} + \underbrace{\frac{1}{2} \overline{v'_i v'_i v'_j}}_{(2)} - 2\mu \overline{s_{ij} v'_i} \\ - \underbrace{\overline{p v'_i v'_j}}_{(3)} \partial_j \bar{v}_i - \underbrace{\mu \overline{\partial_j v'_i \partial_j v'_i}}_{(4)}$$

① Variation de l'énergie cinétique turbulente
par unité de volume.

② terme conservatif → une diffusion

$$\textcircled{2} = \partial_j \left((\mu + \mu_t / \sigma_k) \partial_j k \right). \quad \sigma_k \text{ empirique}$$

③ terme ≥ 0 = $\frac{1}{2} \mu_t (\partial_j \bar{v}_i + \partial_i \bar{v}_j)^2$. production

④ $-\rho \varepsilon$ terme ≤ 0 Dissipation d'énergie ciné-
tique turbulente $\varepsilon = C_D \frac{1}{l} k^{3/2}$ (Kolmogorov)

empiriquement: $\sigma_k = 1, C_D = 0,08$.

• Modèle (k, ϵ) à deux équations de transport

(populaire!)

Quid de la détermination de l'échelle l ? La déterminer en utilisant une variable caractéristique du genre $\phi = k^m \epsilon^n$ classiquement, $\phi = k^{3/2} / \epsilon \rightarrow \epsilon!$

Bcp d'hypothèses pour modéliser

dimp^n
↓

$$\rho \left(\frac{\partial \epsilon}{\partial t} + \bar{u} \cdot \nabla \epsilon \right) = \partial_i \left(\left(\mu + \frac{\mu_t}{\sigma_\epsilon} \right) \frac{\partial \epsilon}{\partial x_i} \right) + C_1^E \frac{\epsilon P}{k} - \rho C_2^E \frac{\epsilon^2}{k}$$

$P = -\overline{\rho u_i' u_j'} \partial_j \bar{u}_i$ production d'énergie turbulente

$$C_1^E = 1,44; C_2^E = 1,92, C_\mu = 0,09, \sigma_k = 1; \sigma_\epsilon = 1,3$$

* Ça marche là où les hypothèses sont vérifiées : jets libres, sillages, zones de mélange

* Ça ne marche pas en écoulement plus complexe et près des parois.